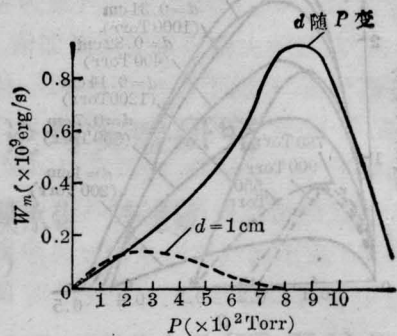


a) 在不同气压下器件(2)中  $W$  随  $C$  的变化



b) 最佳的输出功率  $W_m$  随气压的变化

图 5

### 参 考 文 献

- 1 Toshimitu Akiba *et al.* *IEEE J. Quant. Electr.* 1979; **QE-15**(3): 162
- 2 Haruhiko Nagai *et al.* *IEEE J. Quant. Electr.* 1982; **QE-18**(3): 416
- 3 楚泽湘 *et al.* *中国激光*, 1988; **15**(1): 49
- 4 Chen Liyin *et al.* *Acta Optica Sinica*, 1985; **5**(2): 135

(收稿日期: 1987年3月9日)

## 非均匀增宽增益烧孔的描述

安承武

(华中理工大学光学系)

### New expression for hole burning on gain profile with inhomogeneous broadening

An Chengwu

(Department of Optics, Huazhong University of Science and Technology, Wuhan)

**Abstract:** A strong field at  $\nu$  is applied to an inhomogeneous laser medium and a very weak probing signal at  $\nu'$  is used to measure the gain  $G(\nu', I_\nu)$  in the medium. By means of the rate equation theory of laser and available mathematical approaches, some results have been obtained, which can much better represent the hole burning on  $G-\nu'$  curve and improve some present results of the rate equation theory.

### 一、引 言

激光物理学中,对于非均匀增宽介质,速率方程理论给出了强场  $I_\nu$  的增益系数为<sup>[1-4]</sup>:

$$G(\nu, I_\nu) = G_i^0(\nu) / (1 + I_\nu / I_s) \quad (1)$$

式中  $G_i^0(\nu)$  是  $I_\nu = 0$  时的小信号增益系数,  $I_s$  为介质的饱和强度。(1)式虽然很好地给出大信号增益系数与其自身小信号增益系数的关系,但不能反映出频率为  $\nu$  的大信号对频率为  $\nu'$  的小信号增益系

数的影响。例如人所共知的烧孔效应并不能被(1)式如实地描述出来。Amnon Yariv 通过分析处理,给出了反映非均匀增宽的增益烧孔效应、描述频率为  $\nu'$  的弱信号的增益系数受强场  $I_\nu$  影响的公式为<sup>[4]</sup>:

$$G(\nu', I_\nu) = G_0^2(\nu') \left[ \frac{(\Delta\nu_D/2)^2 + (\nu - \nu')^2}{(\nu - \nu')^2 + (\Delta\nu_H/2)^2(1 + I_\nu/I_s)} \right] \quad (2)$$

式中  $\Delta\nu_H$  为均匀线宽。既然(2)式是描述非均匀增宽的增益系数,如果它是正确的,那末当  $\nu' = \nu$  时就应当与(1)式完全相同。然而,在  $\nu' = \nu$  的条件下,(2)式化成:

$$G(\nu, I_\nu) = G_0^2(\nu) / (1 + I_\nu/I_s) \quad (3)$$

(3)式与(1)式不能统一。因此,(2)式不是小信号  $\nu'$  的增益系数的正确表示式。

本文仍利用速率方程理论的一些结果,采用了适当的物理构思和数学处理方法,给出强光  $I_\nu$  作用的非均匀激活介质中信号  $\nu'$  的增益系数的全频率特性,此时  $\nu' = \nu$  的结果与(1)式完全相同。

## 二、物理构思与数学处理

设所考虑的激活介质具有 Doppler 增宽的 Gauss 线型函数:

$$g_D(\nu'', \nu_0) = (2/\Delta\nu_D) \cdot (\ln 2/\pi)^{1/2} \times \exp\{-4 \cdot \ln 2 \cdot (\nu'' - \nu_0)^2 / \Delta\nu_D^2\} \quad (4)$$

式中  $\Delta\nu_D$  为 Doppler 线宽,  $\nu_0$  为原子中心频率。在以任意频率  $\nu'$  为中心的极小区域内,激活介质具有均匀增宽的 Lorentz 线型函数:

$$g_H(\nu'', \nu') = (\Delta\nu_H/2\pi) / [(\nu'' - \nu')^2 + (\Delta\nu_H/2)^2] \quad (5)$$

式中  $\Delta\nu_H$  为均匀线宽,满足:

$$\Delta\nu_D \gg \Delta\nu_H \quad (6)$$

如图 1 所示。激活介质的总粒子反转数密度为  $\Delta n^0$ , 处于频率  $\nu''$  处单位频率间隔的粒子反转数密度为  $\Delta n_0(\nu'')$ , 满足:

$$\Delta n_0(\nu'') d\nu'' = \Delta n^0 g_D(\nu'', \nu_0) d\nu'' \quad (7)$$

当激活介质受频率为  $\nu$  光强  $I_\nu$  的光束作用后,频率  $\nu'$  处单位频率间隔的反转粒子数密度为  $\Delta n(\nu')$ :

$$\Delta n(\nu') = \Delta n_0(\nu'') \left[ \frac{(\nu'' - \nu)^2 + (\Delta\nu_H/2)^2}{(\nu'' - \nu)^2 + (\Delta\nu_H/2)^2(1 + I_\nu/I_s)} \right] \quad (8)$$

假设用一频率为  $\nu'$  的弱信号入射到由强场  $I_\nu$  作用的激活介质,由于所考虑的是 Doppler 增宽的激活介质,其粒子数密度分布示于图 1。在整个频率范围内,所有频率  $\nu''$  对应的粒子反转数各自对信

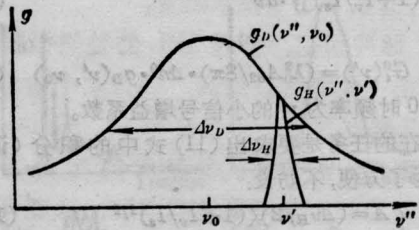


图 1 介质具有的线型函数 ( $\Delta\nu_D \gg \Delta\nu_H$ )

号  $\nu'$  的增益系数的贡献为  $dG(\nu')_{\nu''}$ , 由速率方程理论得到:

$$\begin{aligned} dG(\nu')_{\nu''} &= (\lambda_0^2 A_{32} / 8\pi) \cdot g_H(\nu'', \nu') \cdot \Delta n(\nu'') d\nu'' \\ &= (\lambda_0^2 A_{32} / 8\pi) \cdot \Delta n^0 \cdot g_D(\nu'', \nu_0) \\ &\quad \cdot \left\{ \frac{[\Delta\nu_H/2\pi]}{[(\nu'' - \nu')^2 + (\Delta\nu_H/2)^2]} \right\} \cdot \left\{ \frac{[(\nu'' - \nu)^2 + (\Delta\nu_H/2)^2]}{[(\nu'' - \nu)^2 + (\Delta\nu_H/2)^2(1 + I_\nu/I_s)]} \right\} d\nu'' \quad (9) \end{aligned}$$

式中  $A_{32}$  为激光上能级对下能级的自发辐射参数。由(9)式知,信号  $\nu'$  的增益系数等于整个频率范围内所有粒子的贡献之和。由于 Lorentz 线型因子的存在,使得在  $|\nu'' - \nu'| > \Delta\nu_H$  的频率范围内  $\nu''$  对应的粒子反转数对信号  $\nu'$  的增益系数的贡献很小<sup>[1]</sup>。因此,信号  $\nu'$  的增益系数近似等于处于  $|\nu'' - \nu'| \leq \Delta\nu_H$  的频率范围内  $\nu''$  对应的反转粒子数的贡献之和,即:

$$\begin{aligned} G(\nu', I_\nu) &= \int_0^\infty dG(\nu', I_\nu)_{\nu''} \\ &\approx \int_{\nu' - \Delta\nu_H}^{\nu' + \Delta\nu_H} (\lambda_0^2 A_{32} / 8\pi) \cdot (\Delta\nu_H/2\pi) \cdot \Delta n^0 \cdot g_D(\nu'', \nu_0) \\ &\quad \times \left[ \frac{[\nu'' - \nu]^2 + (\Delta\nu_H/2)^2}{[(\nu'' - \nu)^2 + (\Delta\nu_H/2)^2(1 + I_\nu/I_s)]} \right] \times \left[ \frac{[(\nu'' - \nu')^2 + (\Delta\nu_H/2)^2]}{[(\nu'' - \nu')^2 + (\Delta\nu_H/2)^2]} \right] \cdot d\nu'' \quad (10) \end{aligned}$$

由(6)式知,  $g_D$  在  $\Delta\nu_H$  内变化很小,作为近似,可将  $g_D(\nu'', \nu_0)$  提到积分号之外;又当  $|\nu'' - \nu'| \gg \Delta\nu_H$  时,积分效果趋于零,作为近似,可将积分区域拓宽到  $(-\infty, +\infty)$ 。因此:

$$\begin{aligned} G(\nu', I_\nu) &\approx (\lambda_0^2 A_{32} / 8\pi) \cdot (\Delta\nu_H/2\pi) \cdot \Delta n^0 \cdot g_D(\nu', \nu_0) \\ &\quad \times \int_{\nu' - \Delta\nu_H}^{\nu' + \Delta\nu_H} \left[ \frac{(\nu'' - \nu)^2 + (\Delta\nu_H/2)^2}{[(\nu'' - \nu')^2 + (\Delta\nu_H/2)^2]} \right] \cdot \left[ \frac{[(\nu'' - \nu)^2 + (\Delta\nu_H/2)^2]}{[(\nu'' - \nu)^2 + (\Delta\nu_H/2)^2(1 + I_\nu/I_s)]} \right] \cdot d\nu'' \\ &\approx G_0^2(\nu') \cdot (\Delta\nu_H/2\pi) \\ &\quad \times \int_{-\infty}^{+\infty} \left[ \frac{(\nu'' - \nu)^2 + (\Delta\nu_H/2)^2}{[(\nu'' - \nu')^2 + (\Delta\nu_H/2)^2]} \right] \cdot \left[ \frac{[(\nu'' - \nu)^2 + (\Delta\nu_H/2)^2]}{[(\nu'' - \nu)^2 + (\Delta\nu_H/2)^2(1 + I_\nu/I_s)]} \right] \cdot d\nu'' \end{aligned}$$

$$\times (1 + I_\nu/I_s)\} \cdot d\nu'' \quad (11)$$

式中:

$$G_i^0(\nu') = (\lambda_0^2 A_{32}/8\pi) \cdot \Delta n^0 \cdot g_D(\nu', \nu_0) \quad (12)$$

为  $I_\nu=0$  时频率为  $\nu'$  的小信号增益系数。

现在的任务是要求出(11)式中的积分(记为  $I_\infty$ )。为了方便,不妨设:

$$\begin{cases} A = (\Delta\nu_H/2) \langle (1 + I_\nu/I_s)^{1/2} \rangle & (13a) \\ B = \Delta\nu_H/2 & (13b) \\ C = \nu - \nu' = k \cdot \Delta\nu_H/2 & (13c) \\ X = \nu'' - \nu & (13d) \end{cases}$$

于是,(11)式中的积分为:

$$\begin{aligned} I_\infty &= \int_{-\infty}^{+\infty} (X^2 + B^2) / \{(X^2 + A^2) \\ &\quad \times [(X+C)^2 + B^2]\} dX \\ &= \int_{-\infty}^{+\infty} (NX + M) / (X^2 + A^2) dX \\ &\quad + \int_{-\infty}^{+\infty} (nX + m) / [(X+C)^2 + B^2] dX \end{aligned} \quad (14)$$

式中  $N, M, n, m$  可确定为:

$$N = 2C \cdot (A^2 - B^2) / [(B^2 + C^2 - A^2)^2 + 4A^2C^2] \quad (15)$$

$$M = (B^2 - A^2) \cdot (B^2 + C^2 - A^2) / [(B^2 + C^2 - A^2)^2 + 4A^2C^2] \quad (16)$$

$$n = -N \quad (17)$$

$$m = [B^2 - (B^2 + C^2) \cdot M] / A^2 \quad (18)$$

将(17)式代入(14)式,求积分得:

$$I_\infty = M \cdot \pi / A + (m + C \cdot N) \cdot \pi / B \quad (19)$$

将(15)、(16)、(18)代入(19)后,再将(19)代入(11)式得:

$$\begin{aligned} G(\nu', I_\nu) &= G_i^0(\nu') \cdot (\Delta\nu_H/2) \cdot [M/A + (m + C \cdot N)/B] \\ &= G_i^0(\nu') \cdot (\Delta\nu_H/2) \cdot [B(B^2 - A^2) \\ &\quad \cdot (B^2 + C^2 - A^2) + AC^2 \cdot (3B^2 + A^2 \\ &\quad + C^2)] / \{(B^2 + C^2 - A^2)^2 + 4A^2C^2\} \cdot A \cdot B \end{aligned} \quad (20)$$

将(13a)~(13c)代入(20)式得:

$$\begin{aligned} G(\nu', I_\nu) &= G_i^0(\nu') \cdot [(1 + I_\nu/I_s)^{1/2} \cdot k^2 \cdot (4 + k^2 \\ &\quad + I_\nu/I_s) - (I_\nu/I_s) \cdot k^2 \\ &\quad - I_\nu/I_s] / \{(k^2 - I_\nu/I_s)^2 + 4k^2(1 \\ &\quad + I_\nu/I_s)\} \cdot (1 + I_\nu/I_s)^{1/2} \end{aligned} \quad (21)$$

式中  $k = (2/\Delta\nu_H) \cdot (\nu - \nu')$ 。(21)式就是所要求的重要结果。

### 三、讨论

1. 当  $I_\nu=0$  时,由(21)式容易得到:

$$G(\nu', 0) = G_i^0(\nu') \quad (22)$$

即在此条件下,(21)式描述的是非均匀增宽小信号增益曲线,这与物理事实是一致的。

2. 当  $k = (2/\Delta\nu_H) \cdot (\nu - \nu') = 0$  时,即探测信号与强场的频率一致时,(21)式变成:

$$G(\nu, I_\nu) = G_i^0(\nu) / (1 + I_\nu/I_s)^{1/2} \quad (23)$$

它与(1)式完全相同。所以(1)式是(21)式在  $\nu' = \nu$  时的特殊情况。

3. 把(21)式对  $k$  求导可得:

$$\left. \frac{dG(\nu', I_\nu)}{dk} \right|_{k=0} = 0 \quad (24)$$

$$\left. \frac{d^2G(\nu', I_\nu)}{dk^2} \right|_{k=0} > 0 \quad (25)$$

由(24)与(25)式可以判断,在  $k=0$  时,  $G(\nu', I_\nu)$  取极小值  $G(\nu, I_\nu)$ 、即在  $G-\nu'$  曲线上的凹陷最低处。综合以上三点讨论,可以确认(21)式是描述非均匀增宽增益系数的全频率特性(即  $G-\nu'$  曲线)的正确表达式,它如实地反映了  $G-\nu'$  曲线上的烧孔效应,避免了(2)式那样的错误。

4. 据(21)式和烧孔深度  $H_G$  和烧孔宽度  $\delta\nu_G$  的定义,容易得到:

$$\begin{aligned} H_G &= G_i^0(\nu) - G(\nu, I_\nu) \\ &= G_i^0(\nu) \cdot [1 - (1 + I_\nu/I_s)^{-1/2}] \end{aligned} \quad (26)$$

这与文献[1~4]中只讨论非均匀增宽大信号增益系数的结果是一致的。如果从(2)式考虑,就不能得到一致的结论。但由(21)式求得的烧孔宽度为:

$$\delta\nu_G = [2 + I_\nu/I_s + 2(1 + I_\nu/I_s)^{1/2}]^{1/2} \cdot \Delta\nu_H \quad (27)$$

这与文献[1]和[4]中结果

$$\delta\nu = \Delta\nu_H \cdot (1 + I_\nu/I_s)^{1/2} \quad (28)$$

是不同的。因为文献[1]中并没有给出描述增益烧孔的表达式,其结果是直接引用了粒子反转数烧孔的宽度  $\delta\nu_n$ ,这是欠妥的;文献[4]的结果是据(2)式而得,(2)式本身不正确,由其得到的结果当然有误。实际上,应该  $\delta\nu_G > \delta\nu_n$ ,因为在  $G-\nu'$  上的烧孔,是由于  $\nu$  附近的极小范围内的频率对应的粒子反转数对

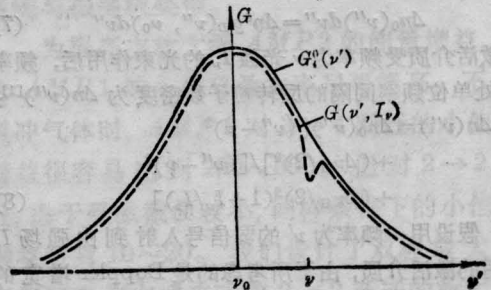


图2  $G-\nu'$  曲线上的烧孔效应

信号  $\nu'$  的增益有贡献, 从而减少了其对自身频率的信号的增益的贡献, 结果使增益烧孔深度  $H_G$  浅于粒子反转数烧孔深度  $H_n$ , 另一方面又使  $\delta\nu_G$  大于  $\delta\nu_n$ 。所以, (27) 式的结果是符合物理事实的。

5. 当  $I_s = I_0$  时, 取不同的  $k$  值代入 (21) 式得:

$$G(\nu', I_s)|_{k=0} = G_i^0(\nu')/\sqrt{2}$$

$$G(\nu', I_s)|_{k=\pm 1/2} = G_i^0(\nu') \cdot (6\sqrt{2} + 21)/41$$

$$G(\nu', I_s)|_{k=\pm 1} = 3G_i^0(\nu')/4$$

因此, 我们可以描绘出  $G(\nu', I_s)$  与  $G_i^0(\nu')$  的关系曲线(如图 2 所示)。显然, (21) 式表达了非均匀增宽增益曲线上的烧孔效应。

## 参 考 文 献

- 1 周炳琨等编。激光原理, 国防工业出版社出版, 1980年; 第2, 3章。
- 2 朱如曾等译。激光物理, 国防工业出版社出版, 1975年; 第八章
- 3 Joseph T. Verdeyen. Laser Electronics, Prentice-Hall, Inc. Englewood Cliffs, N. J. 07632, 1981; Ch. 8
- 4 Amnon Yariv. Quantum Electronics, John Wiley and Sons, Inc. 1975; Ch. 8

(收稿日期: 1987年3月24日)

## 双相位共轭镜组成的光腔中的高斯模

刘劲松

(西北电讯工程学院激光教研室)

### Gaussian mode of a resonator formed by two phase-conjugate mirrors

Liu Jinsong

(Northwest Institute of Telecommunication Engineering, Xian)

**Abstract:** By introducing the transfer matrix of phase-conjugate mirror (PCM) which has explicit frequency variable, it has been derived that the Gaussian modes and stability condition in a phase-conjugate resonator (PCR) bounded by two PCM's which are formed via a nondegenerate four-wave mixing. The effect or frequency-flipping of PCM on the mode properties of the PCR has been discussed.

[1] 中用两个工作在近简并四波混频状态下的相位共轭反射镜 PCM 组成了一个相位共轭腔 PCR (本文记这种 PCR 为 NPCR), 并在其中实现了稳定振荡。本文通过引入 PCM 的显含频率的光束变换矩阵, 首次推出了 NPCR 中的高斯模及其稳定性条件, 得到的某些结论在一定近似程度上被 [1] 中的某些实验结果所证实。

### 一、显含频率的 PCM 变换矩阵

在推导 PCR 中的高斯模时, 首要的问题是需定义一个合适的光束变换矩阵来描述 PCM 的运转。我们以  $q, \rho, W, \lambda, \omega$  分别代表高斯光束的复曲

率、曲率、光斑尺寸、波长及频率。以下标  $r$  与  $i$  分别代表 PCM 入射光与反射光的光束参量。对 PCM 来说, 存在着如下基本关系<sup>[2]</sup>:

$$q_r = -q_i^* \cdot \omega_r / \omega_i \quad (1)$$

式中

$$\frac{1}{q_r} = \frac{1}{\rho_r} - \frac{i\lambda_r}{\pi W_r^2}, \quad \frac{1}{q_i} = \frac{1}{\rho_i} - \frac{r\lambda_i}{\pi W_i^2} \quad (2)$$

设  $\omega_0$  为 PCM 的泵浦光频率。一般情况下,  $\omega_r \neq \omega_i$ , 并可设  $\omega_r = \omega_0 + \delta$ ,  $\omega_i = \omega_0 - \delta$ 。其中  $|\delta| \ll \omega_0$ 。一般称 PCM 的反射光与入射光频率不同这一现象为它的频率跳变特性。对简并情况,  $\omega_r = \omega_i = \omega_0$ , 频率跳变特性消失。

当 PCM 的泵浦光是平面波时, PCM 的光束变